# Оценка влияния скорости перемещения абонентов на удельную интенсивность потока потерь соединений в сетях с OFDM-сигналами

A.O. Шорин, технический директор ООО «HCTT»; as@nxtt.org

УДК 004.056.5: 658.5.012.7

**Аннотация.** Найдены соотношения, устанавливающие связь между интенсивностью потерь соединений в сетях подвижной связи с OFDM и скоростью перемещения абонентов. Определено, что наиболее высокая интенсивность потерь возникает в линиях с наиболее сложными видами модуляции (QAM64). Выявлено, что для более простых видов модуляции (QPSK) воздействие от перемещений абонентов сильного влияния не оказывает. Также показано, что в основных для сети McWILL диапазонах 300...400 МГц, перемещение абонентов вплоть до скоростей 100 м/с не оказывает влияния на интенсивность обрывов. Одновременно для базового диапазона LTE 2600 МГц установлено, что на скоростях 30 м/с и выше интенсивность обрывов становится недопустимо большой.

Ключевые слова: интенсивность потока, системы подвижной связи, OFDM, скорость движения, Марковский процесс.

### **ВВЕДЕНИЕ**

Одним из ключевых показателей, повсеместно используемых в сетях мобильной связи для описания качества работы, является процент обрывов пользовательских соединений (Drop Call Rate), напрямую связанный с интенсивностью потока обрывов. Важно установить, как именно на интенсивность обрывов могут влиять другие, первичные физические характеристики, связанные с условиями и организацией работы в сети. Одна из таких характеристик — скорость перемещения мобильных абонентов. Факт ее влияния на обрывы неоспорим [1-3]. Результаты драйв-тестов, проводимые повсеместно операторами, подтверждают это. На данный момент даже сформировалось правило проведения драйв-тестов на скоростях движения не более 50-60 км/час, так как повышение скорости может приводить к заметному изменению результатов и, в частности, к существенному повышению показаний по уровню обрывов.

В таких условиях представляется важным установить связь между интенсивностью потока обрывов соединений и скоростью движения в аналитической универсальной форме, а также определить, какие дополнительные параметры участвуют в указанной связи и, как следствие, найти способы снижения влияния высоких скоростей перемещения на интенсивность обрывов соединений в сетях мобильной связи. Этим вопросам посвящена настоящая работа.

#### ПОСТАНОВКА ЗАДАЧИ

Для того чтобы связать интенсивность потока потерь соединений с уровнем сигнала на приеме воспользуемся методикой, предложенной в монографии [4, стр. 267]. Она основана на полученном аналитическом соотношении для вероятности выбросов (или, что эквивалентно, интенсивности потока выбросов) стационарного Марковского процесса за высокий порог. В это соотношение

в качестве аргумента входит в стационарную плотность распределения Марковского процесса, которая бы наблюдалась в условиях без порога:

$$\frac{1}{\lambda_0} = \frac{2}{K} \int_{x_1}^{b} \frac{dx'}{w_{cr}(x')},$$
 (1)

где  $\lambda_0$  — параметр, задающий вероятность выброса за порог  $x_1$  Марковского процесса x(t);  $w_{\rm cr}(x')$  — стационарное распределение Марковского процесса x(t); K — коэффициент диффузии Марковского процесса x(t); b — точка в области аргумента с наибольшими значениями  $w_{\rm cr}(x')$ . Обычно в качестве такой точки выбирают позицию моды. В (1) сохранены обозначения из [4].

Проанализируем связь входящих в (1) параметров с характеристиками, описывающими движение абонентов и работу линий связи мобильных сетей. В сетях мобильных абонентов потеря соединения происходит при возникновении замираний, приводящих к провалу уровня принимаемого сигнала ниже критического порога:

$$P_{s} < H^{2}P_{N+I}$$

где  $P_s$  — уровень полезного сигнала на приеме;  $P_{{\scriptscriptstyle N\!+\!I}}$  — уровень собственных шумов и помех; H — пороговое значение амплитуды, ниже которого прием сигнала становится невозможным.

Рабочие характеристики современных приемных систем с исправлением ошибок таковы, что полная деградация происходит практически одномоментно при переходе точки критического уровня, задаваемой порогом H. Этот уровень достаточно точно определяется видом модуляции (QPSK, QAM16, QAM64 — для сетей 4G) и информационной скоростью кодеков, исправляющих ошибки (наиболее распространены скорости R = 1/4, 1/3, 1/2, 3/4 и 1). Обычно считают, что замирания сигнала подчиняются логонормальному или обобщен-

WWW.ELSV.RU 35

# НАЧКА

ному Релеевскому ( $\chi^2$ -распределение) законам [5]. Именно эти законы при расчете интенсивности по (1) будем использовать в качестве стационарного распределения:

$$w_{\rm cr}(x)\!=\!\frac{x^{2N_L\!-\!1}\!\left(2N_L\!-\!1\right)^{2N_L}}{2^{N_L\!-\!1}\left(N_L\!-\!1\right)!}\,\exp\!\left(\!-\frac{2N_L\!-\!1}{2}x^2\right)\!-\!\,{\rm Peлeeвck}$$
 Релеевский с  $N_L$  -лучами;

$$w_{\mathrm{cr}}\left(x\right) = \frac{1}{\sqrt{2\pi}\sigma_{\mathrm{n}\mathrm{b}}} \; \exp\!\left(-\frac{x^2}{2\sigma_{\mathrm{n}\mathrm{b}}^2}\right) -$$
 логнормальный с сигмой замираний  $\sigma_{\mathrm{n}\mathrm{b}}$ 

В приведенных законах нормировка произведена так, чтобы аргумент моды равнялся 1, т.е. наиболее вероятный уровень сигнала принят за единичный. Нужно заметить, что в случае Релеевских замираний закон связан с амплитудой сигнала, а в логонормальном варианте распределение описывает поведение уровня сигнала в логарифмическом представлении через шкалу децибелов.

Подбирая коэффициенты сноса и диффузии так, чтобы стационарное распределение, получаемое из решения уравнения Фоккера-Планка-Колмогорова [6], совпадало с записанными законами, можно найти выражения для коэффициента диффузии K, значение которого необходимо для использования в (1):

$$K = \frac{2}{\tau_{cor}} \frac{1}{2N_L - 1}; K = \frac{2}{\tau_{cor}} \sigma_{\pi b}^2,$$

где  $\tau_{cor}$  — время корреляции замираний. Так как нас интересуют замирания, приводящие к потере соединений, то их интервал корреляции должен превосходить время счетчика контроля. Обычно оно устанавливается в сети в пределах 5-10 с, т.е. правомерно ориентироваться на  $\tau_{cor}$  =10 с.

## РЕШЕНИЕ ЗАДАЧИ

Теперь имеем необходимые данные для решения поставленной задачи. При расчете интенсивности потока обрывов нужно вместо  $x_1$  в (1) подставить некоторое достаточно малое пороговое значение H (обозначение выбрано в соответствии с принятым определением порога). Пока будем его понимать в общем смысле. А после получения искомых соотношений установим, как указанное значение порога зависит от типа модуляции, информационной скорости кодирования R и скорости движения абонента. Это позволит определить характер связи между интенсивностью потока потерь соединений и скоростью движения.

Подставляя записанные законы распределения в (1) и используя найденные соотношения для коэффициента диффузии, после некоторых технических преобразований найдем выражения для интенсивности обрывов ω:

$$\begin{split} & \omega(H) = \\ & = \frac{2}{\tau_{cor}} \begin{cases} E_i \bigg(\frac{1}{2}\bigg) - E_i \bigg(\frac{(H)^2}{2}\bigg) \bigg]^{-1} & \text{для } N_L = 1; \\ & E_i \bigg(N_L - \frac{1}{2}\bigg) - E_i \bigg(H^2 \bigg(N_L - \frac{1}{2}\bigg)\bigg) + \\ & + \frac{e^{H^2 \bigg(N_L - \frac{1}{2}\bigg)}}{H^2 \bigg(N_L - \frac{1}{2}\bigg)} \bigg(\frac{(N_L - 2)!}{\bigg(H^2 \bigg(N_L - \frac{1}{2}\bigg)\bigg)^{N_L - 2}} + \frac{(N_L - 3)!}{\bigg(H^2 \bigg(N_L - \frac{1}{2}\bigg)\bigg)^{N_L - 3}} + \dots + 1 \bigg) \\ & - \frac{e^{\bigg(N_L - \frac{1}{2}\bigg)}}{\bigg(N_L - \frac{1}{2}\bigg)} \bigg(\frac{(N_L - 2)!}{\bigg(N_L - \frac{1}{2}\bigg)^{N_L - 2}} + \frac{(N_L - 3)!}{\bigg(N_L - \frac{1}{2}\bigg)^{N_L - 3}} + \dots + 1 \bigg) \end{cases} \end{split}$$

где  $E_i(u) = \int_{-t}^{u} \frac{e^t}{t} dt$  — интегральная показательная функция, понимаемая в смысле главного значения для u > 0;

$$\omega(H) = \frac{1}{\sqrt{2\pi}\tau_{cor}} \left[ \int_{0}^{H^{*}} e^{z^{2}/2} dz \right]^{-1} = \frac{H^{*}e^{\frac{H^{*2}}{2}}}{\sqrt{2\pi}\tau_{cor}} \left[ \sum_{n=0}^{\infty} \frac{(2n)!}{2^{2n}(n!)^{2} \left(\frac{H^{*2}}{2}\right)^{n}} \Gamma\left(n+1,\frac{H^{*2}}{2}\right) \right]^{-1},$$

где 
$$H^* = -\frac{20\lg(H)}{\sigma_{\!_{\Pi}\!\!_D}}; \ \Gamma(n,u) = \int\limits_0^u e^{-t} t^{n-1} dt -$$
 нижняя неполная

гамма-функция.

Воспользуемся разложением интегральной показательной функции

$$E_i(u) = \gamma + \ln(|u|) + \sum_{n=1}^{\infty} \frac{u^n}{nn!},$$

где  $\gamma = 0,57721566$  — постоянная Эйлера. Тогда, в предположении относительно малых значений H, можно получить упрощенные формулы расчета интенсивности потока обрывов соединений для Релеевских замираний:

$$\begin{split} N_L &= 1, \omega(H) \approx \frac{2}{\tau_{cor}} \bigg[ -2 \ln H + 0,570151 - \frac{1}{2} H^2 \bigg]^{-1}; \\ N_L &= 2, \omega(H) \approx \frac{2}{\tau_{cor}} \bigg[ \frac{2}{3} \frac{1}{H^2} - 2 \ln H + 0,330812 - \frac{3}{4} H^2 \bigg]^{-1}; \\ N_L &= 3, \omega(H) \approx \frac{2}{\tau_{cor}} \bigg[ \frac{2^2}{5^2} \frac{1}{H^4} + \frac{2^2}{5} \frac{1}{H^2} - 2 \ln H + 0,258063 - \frac{5}{6} H^2 \bigg]^{-1}; \\ N_L &= 4, \\ \omega(H) &\approx \frac{2}{\tau_{cor}} \bigg[ \frac{2^4}{7^3} \frac{1}{H^6} + \frac{2^2 \cdot 3}{7^2} \frac{1}{H^4} + \frac{2 \cdot 3}{7} \frac{1}{H^2} - 2 \ln H + 0,219105 - \frac{7}{8} H^2 \bigg]^{-1}; \\ N_L &= 5, \omega(H) \approx \\ &\approx \frac{2}{\tau_{cor}} \bigg[ \frac{2^5}{3^7} \frac{1}{H^8} + \frac{2^6}{3^9} \frac{1}{H^6} + \frac{2^3}{3^5} \frac{1}{H^4} + \frac{2^3}{3^2} \frac{1}{H^2} - 2 \ln H + 0,193832 - \frac{9}{10} H^2 \bigg]^{-1}; \\ N_L &= 6, \end{split}$$

$$\omega(H) \approx \frac{2}{\tau_{cor}} \left[ \frac{2^8 3}{11^5} \frac{1}{H^{10}} + \frac{2^5 \cdot 3 \cdot 5}{11^4} \frac{1}{H^8} + \frac{2^5 \cdot 5}{11^3} \frac{1}{H^6} + \frac{2^3 \cdot 5}{11^2} \frac{1}{H^4} + \frac{2 \cdot 5}{11} \frac{1}{H^2} - \right]$$

$$-2\ln H + 0.175717 - \frac{11}{12}H^2$$

Для логнормальных замираний соответствующее выражение интенсивности потока выхода под порог хорошо аппроксимирует соотношение

$$\omega(H) = \frac{e^{-\frac{H^{*2}}{2}}}{\sqrt{2\pi}\tau_{-}} \left(H^* + \frac{1}{H^*}\right),\tag{3}$$

где 
$$H^* = -\frac{20\lg(H)}{\sigma_{\text{TE}}}$$
.

Выражения (2), (3) задают интенсивность потока событий, связанных с уходом замирающего сигнала под пороговый уровень  $H^2$ . Для решения задачи остается определить, каким является указанный порог, как он зависит от типа модуляции и ошибок синхронизации по частоте, возникающих при движении абонента.

Современные системы цифровой обработки сигналов используют коды с исправлением ошибок, которые обеспечивают на выходе практически полностью очищенный от ошибок сигнал (для удовлетворительной работы приложений), если на их входе вероят-

ность ошибки на бит (BER) не превосходит 1/30-1/20. Когда ошибки начинают незначительно превышать указанный уровень, как правило, происходит полное нарушение работы линии связи. С точки зрения работы демодулятора, вероятность ошибки на бит порядка 1/25 возникает при уровне шума  $\sigma = 0.5/1,7507 \approx 1/2\sqrt{3}$  от расстояния между соседними точками амплитуднофазового созвездия. В пересчете к среднему уровню полезного сигнала получаем:

$$P_{N} = \frac{1}{6}P_{S} = \frac{1}{6}$$
 — для QPSK;  $P_{N} = \frac{1}{30}P_{S} = \frac{1}{30}$  — для QAM16;

$$P_N = \frac{1}{126} P_S = \frac{1}{126} -$$
для QAM64.

В данном случае воспользовались тем, что была принята система представления, в которой уровень полезного сигнала равнялся единице ( $P_s = 1$ ).

В современных системах связи в линиях используются комбинированные кодеки, в которых перед кодом, исправляющим ошибки, применяют сверточное кодирование [7]. Работа сверточного кодека приводит к эффективному повышению отношения сигнал/шум (ОСШ), которое в первом приближении можно оценить значением 1/R, где R — информационная скорость сверточного кода. С учетом этого, запишем пороговые уровни замирающего сигнала, при которых начинает пропадать связь:

$$H^2 = 6P_N R$$
 — для QPSK;  $H^2 = 30P_N R$  — для QAM16;

$$H^2 = 126P_N R -$$
 для QAM64. (4)

Соотношения (4) определяют как рассчитывать порог H по уровню шума  $P_N$ . А поскольку используется представление с  $P_S=1$ , то вместо  $P_N$  можно написать

$$P_N = 1/z$$
, где  $z = \frac{P_S}{\sigma_{_{\parallel}}^2}$  — ОСШ на входе демодулятора при

отсутствии замираний и точной частотной синхронизации. Тогда (4) можно представить в обобщенном виде:

$$H^2 = \frac{Q_{mod}}{z}R,\tag{5}$$

где  $Q_{mod}$  — коэффициент, связанный с используемой модуляцией. Он равен 6 для QPSK, 30 — для QAM16 и 126 — для QAM64.

При ошибках синхронизации по частоте к шумам будет добавляться помеха с уровнем [8]  $P_{\rm s}\rho$ ,

где 
$$\rho_{v} = \left(1 - \frac{\sin^{2}(\pi\varepsilon)}{(\pi\varepsilon)^{2}}\right) / \left(\frac{\sin^{2}(\pi\varepsilon)}{(\pi\varepsilon)^{2}}\right) \approx 1 - \frac{\sin^{2}(\pi\varepsilon)}{(\pi\varepsilon)^{2}};$$

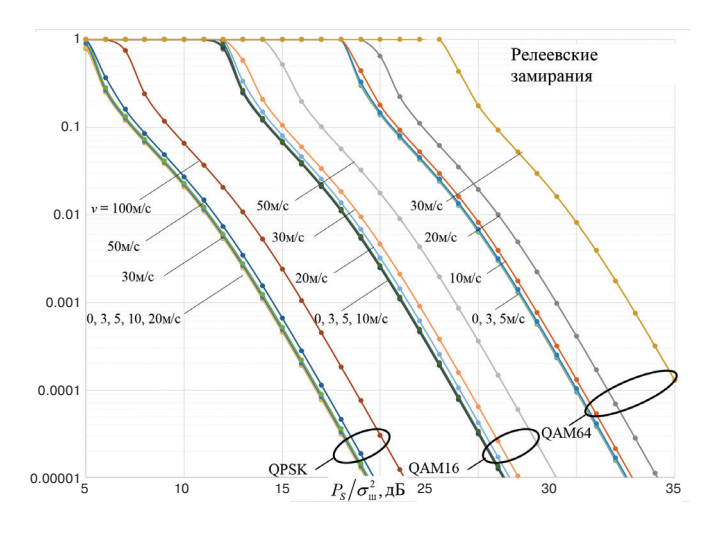
$$\varepsilon = \frac{\delta f}{\Delta f} = \frac{f_0 \frac{2v}{c}}{\Delta f}$$
 — ошибка синхронизации по частоте, воз-

WWW.ELSV.RU 37

# **HA**JKA

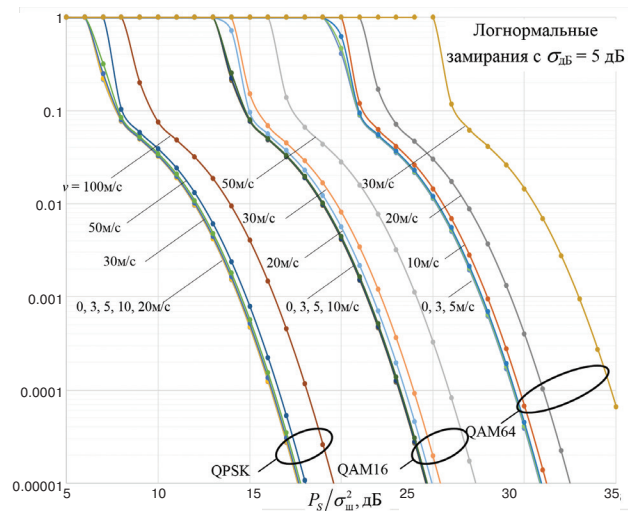
#### Рисунок 1

Зависимости удельных интенсивностей обрывов соединений от уровня ОСШ в канале при различных скоростях перемещения абонентов. Релеевские замирания с  $N_{\!\scriptscriptstyle L}$  = 3 (три луча)



#### Рисунок 2

Зависимости удельной интенсивности обрывов соединений от ОСШ для различных скоростей перемещения абонентов в условиях логнормальных замираний с  $\sigma_{\rm nk}$  = 5 дБ



никающая из-за движения абонента;  $f_0$  — несущая частота;  $\Delta f$  — разнос поднесущих в OFDM; с — скорость света; v — компонента скорости перемещения абонента в направлении на БС. С учетом этой добавки, уравнение для порога примет вид:

$$H^{2} = Q_{mod} R \left( \frac{1}{z} + H^{2} \right).$$

Откуда получаем:

$$H^2 = \frac{1}{-Q_{mod}R} \frac{Q_{mod}}{z} R. \tag{6}$$

Сравнение (6) с (5) показывает, что из-за ошибок синхронизации по частоте, возникающих при движ-

ении абонента, происходит увеличение в  $\frac{1}{1-Q_{mod}R\rho_{v}}$  раз

нижнего порога замираний, определяющего возникновение обрывов связи.

#### АНАЛИЗ ПОЛУЧЕННЫХ РЕЗУЛЬТАТОВ

Соотношения (2), (3) и (6) позволяют рассчитать интенсивность потока потерь соединений в условиях замираний полезного сигнала с учетом технологических параметров работы линии связи, закона замираний и скорости движения абонентов.

На рис. 1 и 2 приведены зависимости интенсивности потока обрывов соединений от уровня  $P_S/\sigma_m^2$  на входе демодулятора, рассчитанные по полученным формулам в условиях работы на частоте 1792,5 МГц (центр защитной полосы диапазона 1800 МГц — диапазон №9 по рекомендации 3GPP TS 136.104), а также рассмотрены

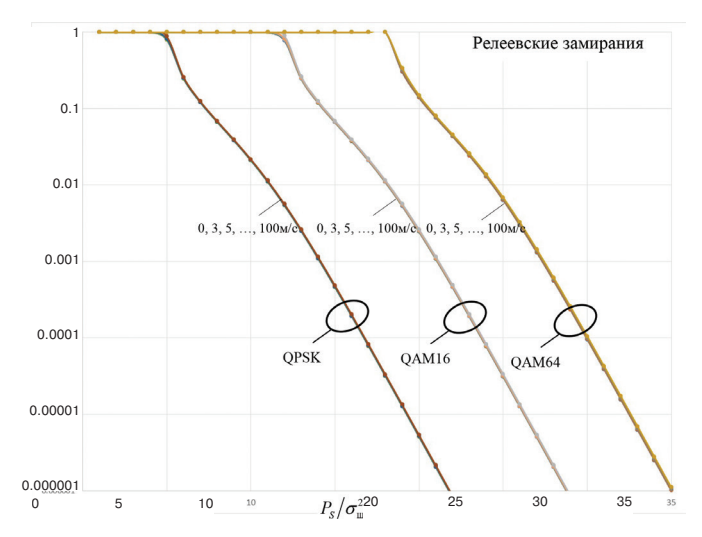
случаи применения различных видов модуляции и разные скорости движения абонентов.

Зависимости на рис. 1 получены для обобщенных Релеевских замираний с тремя лучами, а на рис. 2 — для логнормальных со среднеквадратической глубиной 5 дБ. Как можно видеть, модуляция QPSK отличается высокой устойчивостью к перемещению абонентов. Только начиная со скоростей 100 м/с (авиационные), наблюдается заметное повышение интенсивности отказов, которое можно охарактеризовать как эффективное уменьшение ОСШ на 2,5 дБ.

Модуляция QAM16 проявляет большую чувствительность к движению абонента. На скоростях 100 м/с

#### Рисунок 3

Зависимости удельных интенсивностей обрывов соединений от ОСШ в сети McWILL, работающей на частоте 339 МГц. Релеевские замирания с  $N_{\rm r}=3\,$  (три луча)



#### ШИРОКОПОЛОСНЫЙ БЕСПРОВОДНОЙ ДОСТУП

реализовать связь с этой модуляцией нельзя. Потери в представлении эффективного уменьшения ОСШ заметны на скорости 50 м/с и составляют порядка 2,5 дБ. Самую высокую чувствительность к перемещению абонентов демонстрирует модуляция QAM64. Для нее нельзя организовать связь при скоростях выше 35 м/с. Это соответствует данным эксплуатации сетей LTE в поездах САПСАН. Они показывают, что начиная со скоростей 120—130 км/час, высокоскоростная связь в линиях не поддерживается. Для модуляции QAM64 уже при скоростях 30 м/с произойдет существенное увеличение интенсивности потока обрывов. В представлении снижения эффективного ОСШ потери составят около 4 дБ.

В более низких диапазонах частот, например 300...400 МГц (базовые для стандарта McWILL), влияние скорости движения заметно снижается. На рис. 3 приведены результаты расчета зависимости интенсивности обрывов от ОСШ для работы на несущей 339 МГц.

Результаты показывают практическое отсутствие зависимости от скоростей движения абонентов до 100 м/с. В

диапазоне 2600 МГц (базовом для LTE) влияние движения абонентов будет даже выше, чем показано на рис. 1 и 2.

#### **ЗАКЛЮЧЕНИЕ**

Полученные аналитические соотношения устанавливают связь между интенсивностью потока потерь соединений в системах подвижной связи с сигналами OFDM и скоростью перемещения абонентов. Выявлено, что самой высокой степени деградации подвержены линии с более сложными видами модуляции (QAM64). При использовании более простых видов модуляции, например QPSK, влияние скорости движения остается умеренным. Для сетей LTE установлено, что линии связи с модуляцией QAM64 не будут поддерживаться при скоростях перемещения абонентов более 30 м/с.

В сетях McWILL при работе в базовых диапазонах 300...400 МГц движение абонентов вплоть до скоростей 100 м/с не влияет на интенсивность обрывов. В базовом диапазоне для LTE 2600 МГц расчет показал возможность работы с модуляцией QAM64 только до скоростей 20 м/с.

#### СПИСОК ЛИТЕРАТУРЫ

- 1. Sesia S., Toufik I., Baker M. LTE The UMTS Long Term Evolution: From Theory to Practice. John Wiley & Sons, Ltd., Publication. 2011.
- 2. Rugini L., Banelli P. Banded Equalizers for MIMO-OFDM in Fast Time-Varying Channels // 14th European Signal Processing Conference (EUSIPCO 2006). Florence, Italy, 4–8 September 2006; copyright by EURASIP.
- **3. Шорин О.А.** Методы оптимального распределения частотно-временного ресурса

в системах подвижной радиосвязи // Диссертация на соискание ученой степени д.т.н. – М.: МТУСИ, 2005. – 263 с.

- **4. Стратонович Р.Л.** Избранные вопросы теории флюктуаций в радиотехнике. М.: Сов. радио, 1961. 558 с.
- **5. Бакулин М.Г., Крейнделин В.Б., Шлома А.М., Шумов А.П.** Технология ОFDM. М.: Горячая линия—Телеком, 2016. 352 с.
- 6. Тихонов В.И., Харисов В.Н. Статистический анализ и синтез радиотехнических устройств и систем. М.: Радио и связь,

2004. - 608 c.

- **7. Морелос-Сарагоса Р.** Искусство помехоустойчивого кодирования. Методы, алгоритмы, применение. М.: Техносфера, 2005. 320 с.
- **8. Аверьянов Р.С., Шорин А.О.** Оценка оптимальных параметров OFDM-сигналов с учетом мобильности абонентов // Электросвязь. 2015. № 12. С. 60–65.

Получено 03.10.16

WWW.ELSV.RU 39